

та, полученными в данной работе, однако для форсунок с меньшим  $R$  и при меньших  $p_0$  имеется значительное различие, которое, по-видимому, можно объяснить влиянием вязкости.

Величина  $s$ , определяемая формулой (14), равная по ПМР единице, меняется при изменении  $A$  от  $A = 0$  до  $A \rightarrow \infty$  от  $s \rightarrow \infty$  до  $s = 2$ , т. е. поток сверхкритический, что и приводит к указанному выше различию для  $\varphi$ , несмотря на близость значений коэффициентов расхода при больших  $A$ .

Таким образом, главное утверждение ПМР, что поток в сопле должен быть точно критическим, не согласуется с точным решением. Это обстоятельство дает основание для сомнения в надежности результатов, получаемых с его помощью.

#### ЛИТЕРАТУРА

1. Абрамович Г. Н. Теория форсунки с центробежным распылом жидкости.— М.: ЦАГИ, 1943.
2. Абрамович Г. Н. Теория центробежной форсунки // Пром. аэродинамика.— М.: ЦАГИ, 1944.
3. Бэтчелор Дж. Введение в динамику жидкости.— М.: Мир, 1973.
4. Taylor G. The mechanism of swirl atomizers // Proc. 7th Intern. Congr. for Appl. Mech.— L., 1948.— V. 2.
5. Новиков И. И. Об одном случае движения несжимаемой жидкости в цилиндрическом канале // Тр. Военно-Морской Академии им. К. Е. Ворошилова.— Л., 1945.
6. Гольдштник М. А. Вихревые потоки.— Новосибирск: Наука, 1981.
7. Хавкин Ю. И. Центробежные форсунки.— Л.: Машиностроение, 1976.

Поступила 8/VIII 1988 г.

УДК 532.526; 551.465

## ДИНАМИКА ОДНОРОДНОГО ТУРБУЛЕНТНОГО СЛОЯ В СТРАТИФИЦИРОВАННОЙ ЖИДКОСТИ

B. Ю. Ляпидевский

(Новосибирск)

При больших числах Рейнольдса течение несжимаемой стратифицированной по плотности жидкости разбивается на области турбулентного движения, перемежающиеся с областями ламинарного течения [1]. Турбулентное течение возникает под воздействием сдвиговой неустойчивости или в результате воздействия граничных условий. Одна из проблем описания таких течений состоит в параметризации процесса вовлечения окружающей жидкости в турбулентный слой [2, 3]. Принципиальный момент здесь — влияние стратификации на скорость вовлечения. В зависимости от соотношения сил плавучести и инерции преобладает тот или иной механизм развития неустойчивости, приводящий к перемешиванию [2]. При этом скорость вовлечения может меняться в десятки раз. Так как заранее неизвестно, в какой области течения реализуется данный тип неустойчивости, то представляет интерес построение модели стратифицированного течения, единственно описывающей процесс вовлечения.

Один из возможных подходов к решению этой проблемы демонстрируется ниже на примере задачи об эволюции турбулентного слоя в покоящейся жидкости другой плотности. К классу таких течений относятся затопленные струи, гравитационные течения, заглубление верхнего однородного слоя в океане под действием ветра [1]. В построенной модели должны найти отражение такие экспериментально изученные свойства течений, как возможность управления процессом вовлечения изменением условий вниз по потоку, резкое уменьшение скорости вовлечения при переходе от сверхкритического к докритическому течению, а также явление возбуждения коротких внутренних волн на границе турбулентного слоя в течениях со сдвигом скорости [2].

В данной работе эти явления рассматриваются на основе уравнений движения слоя, представляющих собой вариант уравнений «мелкой воды» с учетом перемешивания. Они выведены из законов сохранения аналогично [4]. Скорость вовлечения жидкости в турбулентный слой полагается пропорциональной скорости «больших вихрей», сравнимых по масштабу с толщиной слоя [2, 5]. Анализ бегущих волн рассматриваемой системы показывает, что решения типа солитон или прыжок-волна описывают наблюдаемую в натурных условиях генерацию короткопериодных внутренних волн на гребне более длинных (приливных) волн [6, 7].

**Уравнения «мелкой воды».** В приближении Буссинеска уравнения тонкого горизонтального слоя жидкости толщины  $h$ , плотности  $\rho$ , движущегося со скоростью  $u$  в покоящейся жидкости плотности  $\rho_r$ , имеют вид

$$(1) \quad \begin{aligned} h_t + (hu)_x &= \sigma q, \quad (bh)_t + (bhu)_x = 0, \\ (hu)_t + (hu^2 + 0,5bh^2)_x &= 0, \\ (h(u^2 + e + bh))_t + (hu(u^2 + e + 2bh))_x &= 0. \end{aligned}$$

Здесь  $t$  — время;  $x$  — горизонтальная координата;  $b = (\rho - \rho_r)g/\rho_r$  — плавучесть;  $g$  — вертикальная компонента ускорения силы тяжести;  $e$  — энергия пульсационного движения. Скорость вовлечения покоящейся жидкости в однородный слой полагается пропорциональной скорости «больших вихрей»  $q$ , характеризующей пульсационные движения в слое, сравнимые по масштабу с основным течением [5]. Система (1) будет замкнута, если положить

$$(2) \quad e = q^2.$$

Постоянная  $\sigma$  определяет отношение масштабов пульсационного и среднего движений в потоке со сдвигом скорости. Ее численное значение  $\sigma = 0,15$  найдено в [8] при исследовании вовлечения в однородной жидкости и не зависит от стратификации [2].

Из системы (1), (2) следует уравнение

$$(3) \quad (hq)_t + (hqu)_x = 0,5\sigma(u^2 + e - bh).$$

Уравнение (3) показывает, что в случае устойчивой стратификации ( $b > 0$ ) система (1), (2), описывает не только процесс вовлечения покоящейся жидкости в однородный слой ( $q > 0$ ), но и волновой процесс на границе слоя, в котором кинетическая энергия переходит в потенциальную за счет вовлечения более легкой жидкости и обратно (скорость  $q$  знакопеременна). Это приводит к возбуждению в потоке волн определенной длины. Если же новый выбранный масштаб осреднения сравним с длиной этих волн, то среднее значение скорости  $\langle q \rangle$  будет существенно отличаться от мгновенного значения и, значит,  $\langle e \rangle > \langle q^2 \rangle$ . Поэтому после осреднения по новому масштабу уравнения (1), (3) становятся независимыми (знаки осреднения опускаются) и образуют замкнутую систему. Дифференциальным следствием этой системы является уравнение «диссипации» энергии мелкомасштабного движения  $e_0 = e - q^2$ :  $e_{0t} + ue_{0x} = -\sigma q e_0/h$ . Если в начальный момент  $e_0 = 0$ , то в непрерывном решении (1), (3)  $e_0 = 0$  во все моменты времени, т. е. системы (1), (2) и (1), (3) в этом случае эквивалентны.

**Затопленная струя.** Основные свойства стационарных решений системы (1), (3) можно проиллюстрировать на примере задачи о затопленной струе (рис. 1). Начальный участок 0—1 соответствует слою смешения, который описывается уравнениями двухслойной «мелкой воды» [2] и здесь не рассматривается. При достаточно большом начальном числе Фруда  $Fr_0 = u_0/(b_0 h_0)^{1/2}$  слой смешения достигает дна и ниже по потоку переходит в затопленную струю. На участке 1—2 течение сверхкритическое ( $Fr = u/(bh)^{1/2} > 1$ ) и происходит интенсивное вовлечение покоящейся жидкости. Особенность течений смешивающихся жидкостей — возможность управления внутренним гидравлическим прыжком 2—3, осуществляющим переход к докритическому течению ( $Fr < 1$ ), при помощи контрольного сечения 4 [9].

С возрастанием высоты препятствия  $\delta$  количество вовлекаемой в струю жидкости уменьшается, причем как в самом гидравлическом прыжке 2—3, так и в докритическом течении 3—4 вовлечение по сравнению с участком 1—2 сверхкритического течения весьма незначительно.

Для того чтобы объяснить наблюдаемые особенности течения в струе с точки зрения выведенной выше модели, рассмотрим возможные стационарные решения системы (1), (3) на плоскости  $(u, Q)$ , где  $Q = hu$  — расход жидкости в струе (рис. 2). Если состояние 0 представляет собой равномерный потенциальный поток ( $h = h_0$ ,  $u = u_0$ ,  $b = b_0$ ,  $e_0 = 0$ ,  $q_0 = 0$ ),

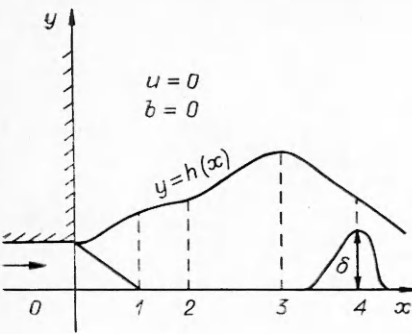


Рис. 1

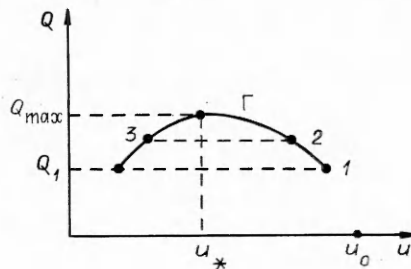


Рис. 2

то слой смешения переходит в затопленную струю при  $Q > Q_1 = 2Q_0$ . Состояния на кривой Г при  $u < u_* = (b_0 h_0 u_0)^{1/3}$  соответствуют докритическому течению, а при  $u > u_*$  — сверхкритическому. Максимальный режим вовлечения  $Q_{\max}$  реализуется в точке максимума кривой Г, т. е. отвечает критическому течению ( $\delta = 0$ ). Поэтому нет необходимости в использованном в [10] дополнительном условии устойчивости для нахождения  $Q_{\max}$ . Так, отношения экспериментальных значений  $h_e, u_e, Q_e$ , найденных в [10] для режима максимального вовлечения к соответствующим значениям в данной модели, весьма близки к единице ( $h_e/h_{\max} = 0,96$ ,  $u_e/u_{\max} = 0,98$ ,  $Q_e/Q_{\max} = 0,93$ ). С возрастанием высоты препятствия  $\delta$  формируется гидравлический прыжок 2—3, соотношения на котором следуют из законов сохранения (1), (3). В частности,  $Q_2 = Q_3$ . Зависимость Fr за прыжком от высоты препятствия исследована в [9] в предположении, что на участке 3—4 вовлечение отсутствует. Наблюдаемое резкое сокращение скорости вовлечения после гидравлического прыжка объясняется тем, что в отличие от перехода 0—2, где  $q > 0$ , скорость  $q$  на 3—4 знакопеременна, т. е. средняя скорость  $\langle q \rangle$  близка к нулю за счет интенсивного волнового движения внутри слоя. Равновесное или квазистационарное состояние слоя достигается, если

$$(4) \quad \langle q \rangle = 0, \quad bh \equiv u^2 + e.$$

Нетрудно видеть, что условие (4) может быть реализовано только в докритическом течении  $bh < u^2$ .

**Бегущие волны системы (1), (3).** Пусть волна распространяется со скоростью  $D$  по равновесному фону ( $u_0 = 0, e_0 = b_0 h_0, q_0 = 0$ ), т. е. искомые величины в (1), (3) зависят только от переменной  $\xi = x - Dt$  ( $D > 0$ ). При этом система (1), (3) сводится к системе обыкновенных дифференциальных уравнений, решение которой может быть найдено в квадратурах. В безразмерных переменных  $\eta = h/h_0, v = u/D, \text{Ri}_D = b_0 h_0 / D^2$  зависимость  $\xi$  от  $v$  имеет вид

$$\begin{aligned} \xi &= \int_{v_1}^v \frac{dQ}{\sigma r}, \quad r^2 = \frac{1}{2Q^2} \int_{v_1}^v g(s) dQ^2(s), \\ g(v) &= v \left( \frac{3 \text{Ri}_D}{(1-v)^2} - 4 \right), \quad Q = (v-1) \eta, \\ v_1 &= \begin{cases} 0, & \text{Ri}_D > 1, \\ 0,5 \text{Ri}_D (\eta_1^2 - 1), & \text{Ri}_D \leqslant 1, \end{cases} \quad \eta_1 = \frac{\sqrt{\text{Ri}_D^2 + 8 \text{Ri}_D} - \text{Ri}_D}{2 \text{Ri}_D}. \end{aligned}$$

В зависимости от значения параметра  $\text{Ri}_D$  возможны следующие решения системы (1), (3):

- a)  $1 \leqslant \text{Ri}_D < 4/3$  (солитон),
- б)  $1/3 < \text{Ri}_D < 1$  (прыжок-волна),
- в)  $\text{Ri}_D = 1/3$  (бор).

При  $Ri_D = 4/3$  скорость волны  $D$  совпадает со скоростью распространения возмущений в равновесной модели, состоящей из законов сохранения массы, импульса и энергии (последние три уравнения в (1)) и условия (4). При  $Ri_D = 1$  волна движется со скоростью распространения возмущений в системе (1), (3). Поэтому непрерывное решение (солитон) возможно в диапазоне скоростей волны  $D$  между равновесной и замороженной скоростями распространения возмущений. Если  $D > \sqrt{b_0 h_0}$ , то решение состоит из гидравлического прыжка, к которому примыкает периодическое решение (прыжок-волна).

С возрастанием скорости  $D$  амплитуда волн за прыжком уменьшается, и при  $D = \sqrt{3b_0 h_0}$  начальное равновесное состояние прыжком переводится в новое равновесное состояние (бор). Максимальная амплитуда волн за прыжком  $\sim 0,2 h_0$ , характерные длины волн от  $40 h_0$  до  $60 h_0$ . Интересная особенность бегущих волн — наличие двух максимумов на гребне волны при  $Ri_D \sim 1$ .

Генерация короткопериодных внутренних волн на гребне более длинных (приливных, сейшевых) волн наблюдалась рядом исследователей [6, 7]. В случае, когда термоклин расположен почти на дне, резкому его поднятию сопутствует цуг интенсивных коротких волн, параметры которых (длина, амплитуда) соответствуют бегущим волнам системы (1), (3). Поэтому некоторые наблюдаемые особенности возникновения и распространения короткопериодных внутренних волн в окрестности термоклина (выделенная частота колебаний, перемежаемость цугов волн, связанная с прохождением гребня более длинной волны) могут быть объяснены исходя из свойств решений системы (1), (3).

**З а м е ч а н и е.** Рассмотренная система (1), (3) содержит единственный параметр  $\sigma$ , численное значение которого не влияет на структуру решений, так как он может быть исключен из системы растяжением независимых переменных. Выбор численного значения  $\sigma = 0,15$  для однородной и стратифицированной жидкости представляет своего рода гипотезу о «насыщенности» спектра движений подсеточного масштаба в течениях жидкости со сдвигом скорости.

#### ЛИТЕРАТУРА

1. Тернер Дж. Эффекты плавучести в жидкостях.— М.: Мир, 1977.
2. Овсянников Л. В., Макаренко И. И., Налимов В. И. и др. Нелинейные проблемы теории поверхностных и внутренних волн.— Новосибирск: Наука, 1985.
3. Филлипс О. М. Вовлечеие // Моделирование и прогноз верхних слоев океана/ Под ред. Э. Б. Крауса.— Л.: Гидрометеоиздат, 1979.
4. Ляпидевский В. Ю. Моделирование двухфазных течений на основе законов сохранения // Динамика сплошной среды.— Новосибирск: ИГ СО АН СССР, 1986.— Вып. 76.
5. Ляпидевский В. Ю. Задача о слое смешения в однородной жидкости // Динамика сплошной среды.— Новосибирск: ИГ СО АН СССР, 1986.— Вып. 74.
6. Сабинин К. Д., Шулепов В. А. К модели частотного спектра внутренних волн в океане // Изв. АН СССР. Физика атмосферы и океана.— 1981.— Т. 17, № 1.
7. Иванов В. А., Коняев К. В., Серебряный А. Н. Группы интенсивных внутренних волн в шельфовой зоне моря // Изв. АН СССР. Физика атмосферы и океана.— 1981.— Т. 17, № 12.
8. Таунсенд А. А. Структура турбулентного потока с поперечным сдвигом.— М.: ИЛ, 1959.
9. Wilkinson D. L., Wood J. R. A rapidly varied flow phenomenon in a two-layer flow // J. Fluid Mech.— 1971.— V. 47, N 2.
10. Chu V. H., Baddour R. E. Turbulent gravity-stratified shear flows // J. Fluid Mech.— 1984.— V. 138.— P. 353.

Поступила 5/VIII 1988 г.